

2 利根川橋への応用(座標関数の設定, 基本方程式)

図-2 に示すような断面では, x 方向の変位に対して $m=6$ (節異数) の自由度を有する。切断面内の変位に対しては, 節異間の伸びはないものとする。 $m=2m-C=5$ (C は部材数-拘束条件数) で, 合計 11 の自由度を有する。一般座標 φ_i は, 最も簡単な考え方としては, 各節異で 1, その節異に集まる部材(壁)の他端でゼロに直線変化する m 個の関数系を選び, ψ_k としては n 個の部材に, 次々に 1 の x 方向の変位を与えられた時の変位状態図をとることができる。ここではこれらの関数系を組み合わせ, (1) 式の積分に便利のように直交性をもたせるため, 図-3 のように設定した。 φ_1 は全断面一様伸び, $(\varphi_3, \varphi_4), (\varphi_7, \varphi_8)$ はそれぞれ外主構, 中主構の鉛直曲げに対応する。 φ_2 は他の φ_i との直交性から導かれたもので, 特殊な変位状態に対応する。 $(\varphi_5, \varphi_6, \varphi_9, \varphi_{10})$ は断面の変形を含めたねじれ状態に, (φ_5, φ_6) は水平曲げ変位状態に対応する。(これらの座標関数の選ぶ方は (1) 式の積分の難易に関係するだけで, 最終解には影響を与えない)。

(2) 式かつ基本方程式の係数を求め整理すると, 一様伸びと, 表 1, 2 に示すような対称, 逆対称に分離されてくる。各壁は剪断応力しかうけていないと仮定しているのので, (2) 式の積分領域に注意する必要がある。なお,

(1)-b 式の才字項は各壁の面内曲げ(フリューム効果)に対応しているが, 別の数値計算例(単純梁としてのフーリエ級数解)から, 影響が小さいので, 以下の解析法では無視した。ここで $D = d/dx$ である

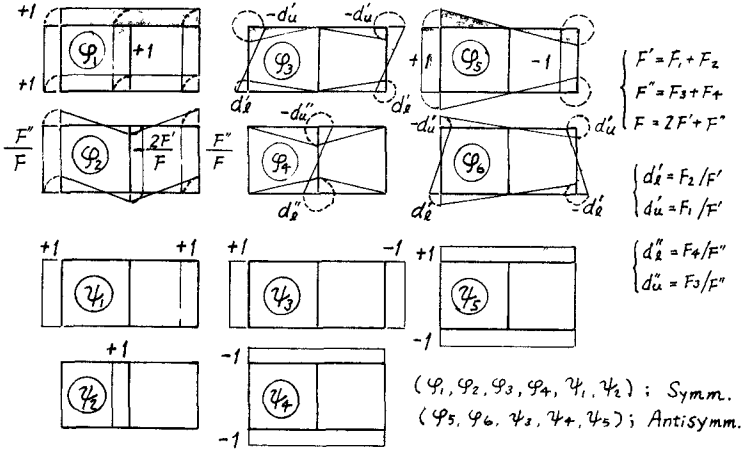


図-3 一般座標関数 φ_i, ψ_k

(i) 軸方向伸び変形

(1) $a_0 U_1'' = -P_1/q$

(iii) 対称変形

表-1

	U_2	U_3	U_4	V_1	V_2	荷重項
(2)	$a_1 D^2 - b_3$	$-b_6$	$-b_8$			$= -P_2/q$
(3)	$-b_6$	$a_2 D^2 - (b_1 + b_7)$	$-b_{10}$	$h b_1 D$		$= -P_3/q$
(4)	$-b_8$	$-b_{10}$	$a_3 D^2 - (b_2 + b_9)$		$h b_2 D$	$= -P_4/q$
(5)		$-h b_1 D$		$h^2 b_1 D^2$		$= -g_1/q$
(6)			$-h b_2 D$		$h^2 b_2 D^2$	$= -g_2/q$

$F_2 = 2F_1 + F_3$ $F_4 = 2F_2 + F_4$
 $a_1 = \gamma \frac{2F_1 F''}{F}$ $a_0 = \delta F$
 $a_2 = \gamma \frac{2F_2 F_3}{F}$
 $a_3 = \gamma \frac{2F_2 F_4}{F}$
 $a_4 = \gamma \frac{2F_4 F_2}{F}$
 $T_0 = 2x_0/h$ $T_1 = t_1/h$
 $T_u = 2x_u/b$ $T_e = 2x_e/b$

$b_1 = T_0$ $b_2 = T_1$
 $b_3 = T_e + T_u$
 $b_4 = T_e - T_u$
 $b_5 = (F_2 T_e + F_1 T_u)/F'$
 $b_6 = (F_2 T_e - F_1 T_u)/F'$
 $b_7 = (F_2^2 T_e + F_1^2 T_u)/F'^2$
 $b_8 = -(F_4 T_e - F_3 T_u)/F''$
 $b_9 = (F_4^2 T_e + F_3^2 T_u)/F''^2$
 $b_{10} = -(F_4 F_2 T_e + F_3 F_1 T_u)/F' F''$

(iii) 反対称変形

表-2

	U_5	U_6	V_3	V_4	V_5	荷重項
(7)	$a_4 D^2 - b_3$	$-b_6$		$-b b_3 D$	$-b b_4 D$	$= -P_5/q$
(8)	$-b_6$	$a_2 D^2 - (b_1 + b_7)$	$h b_1 D$	$-b b_6 D$	$-b b_5 D$	$= -P_6/q$
(9)		$-h b_1 D$	$h^2 b_1 D^2$			$= -g_3/q$
(10)	$b b_3 D$	$b b_6 D$		$b^2 b_3 D^2$	$b^2 b_4 D^2$	$= -g_4/q$
(11)	$b b_4 D$	$b b_5 D$		$b^2 b_4 D^2$	$b^2 b_3 D^2$	$= -g_5/q$

3. 還元法形式の解

変断面として解析する片端還元法タイプの解を求める。まず表1, 2を直接積分してフィールドマトリクスを求める。基本力字量としては、一般化された変位, および一般化された断面力をとると表-3, 4のようになる。この場合ラプラス変換を利用して、積分定数と各力字量の初期値を表現しておくことと便利である。

表-3 対称変形状態の伝達マトリクス

	U_1^0	U_2^0	U_3^0	U_4^0	P_1^0/E	P_2^0/E	P_3^0/E	P_4^0/E	hV_1^0	hV_2^0	Q_1^0/Gh	Q_2^0/Gh	$\delta_1/h\epsilon$	$\delta_2/h\epsilon$
$U_1(x)$	1	0	0	0	x/f	0	0	0	0	0	0	0	0	0
$U_2(x)$	0	$a_1\bar{\Phi}_1'$	$a_2\bar{\Phi}_4'$	$a_3\bar{\Phi}_5'$	0	$\bar{\Phi}_1$	$\bar{\Phi}_4$	$\bar{\Phi}_5$	0	0	$-\bar{\Phi}_7$	$-\bar{\Phi}_8$	$\bar{\Phi}_7$	$\bar{\Phi}_8$
$U_3(x)$	0	$a_1\bar{\Phi}_4'$	$a_2\bar{\Phi}_2'$	$a_3\bar{\Phi}_6'$	0	$\bar{\Phi}_4$	$\bar{\Phi}_2$	$\bar{\Phi}_6$	0	0	$-\bar{\Phi}_9 - \frac{1}{f_0}$	$-\bar{\Phi}_{10}$	$\bar{\Phi}_9 + \frac{x}{f_0}$	$\bar{\Phi}_{10}$
$U_4(x)$	0	$a_1\bar{\Phi}_5'$	$a_2\bar{\Phi}_6'$	$a_3\bar{\Phi}_3'$	0	$\bar{\Phi}_5$	$\bar{\Phi}_6$	$\bar{\Phi}_3$	0	0	$-\bar{\Phi}_{10}$	$-\bar{\Phi}_{11} - \frac{1}{f_2}$	$\bar{\Phi}_{10}$	$\bar{\Phi}_{11} + \frac{x}{f_2}$
$P_1(x)/E$	0	0	0	0	1	0	0	0	0	0	0	0	0	0
$P_2(x)/E$	0	$a_1^2\bar{\Phi}_1''$	$a_1a_2\bar{\Phi}_4''$	$a_1a_3\bar{\Phi}_5''$	0	$a_1\bar{\Phi}_1'$	$a_1\bar{\Phi}_4'$	$a_1\bar{\Phi}_5'$	0	0	$-a_1\bar{\Phi}_7$	$-a_1\bar{\Phi}_8$	$a_1\bar{\Phi}_7$	$a_1\bar{\Phi}_8$
$P_3(x)/E$	0	$a_1a_2\bar{\Phi}_4''$	$a_2^2\bar{\Phi}_2''$	$a_2a_3\bar{\Phi}_6''$	0	$a_2\bar{\Phi}_4'$	$a_2\bar{\Phi}_2'$	$a_2\bar{\Phi}_6'$	0	0	$-a_2\bar{\Phi}_9$	$-a_2\bar{\Phi}_{10}$	$a_2(\bar{\Phi}_9 + \frac{1}{f_0})$	$a_2\bar{\Phi}_{10}$
$P_4(x)/E$	0	$a_1a_3\bar{\Phi}_5''$	$a_2a_3\bar{\Phi}_6''$	$a_3^2\bar{\Phi}_3''$	0	$a_3\bar{\Phi}_5'$	$a_3\bar{\Phi}_6'$	$a_3\bar{\Phi}_3'$	0	0	$-a_3\bar{\Phi}_{10}$	$-a_3\bar{\Phi}_{11}$	$a_3\bar{\Phi}_{10}$	$a_3(\bar{\Phi}_{11} + \frac{1}{f_2})$
$hV_1(x)$	0	$a_1\bar{\Phi}_4$	$a_2\bar{\Phi}_2$	$a_3\bar{\Phi}_6$	0	$\bar{\Phi}_4'$	$\bar{\Phi}_2' + \frac{1}{f_0}$	$\bar{\Phi}_{10}'$	1	0	$-\bar{\Phi}_9$	$-\bar{\Phi}_{10}$	$\bar{\Phi}_9$	$\bar{\Phi}_{10}$
$hV_2(x)$	0	$a_1\bar{\Phi}_5$	$a_2\bar{\Phi}_6$	$a_3\bar{\Phi}_3$	0	$\bar{\Phi}_5'$	$\bar{\Phi}_{10}'$	$\bar{\Phi}_{11}' + \frac{1}{f_2}$	0	1	$-\bar{\Phi}_{10}$	$-\bar{\Phi}_{11}$	$\bar{\Phi}_{10}$	$\bar{\Phi}_{11}$
$Q_1(x)/Gh$	0	0	0	0	0	0	0	0	0	0	1	0	$-x$	0
$Q_2(x)/Gh$	0	0	0	0	0	0	0	0	0	0	0	1	0	$-x$

$$\begin{aligned} \bar{\Phi}_1 &= d_0 x + \frac{1}{a_1} \left(\frac{M_1}{\lambda_1} S_1 + \frac{T_1}{\lambda_1^2} S_2 \right) & \bar{\Phi}_2 &= \frac{1}{a_2} x + \frac{1}{f} \left(\frac{M_2}{2F_1} \frac{S_1}{\lambda_1} + \frac{M_2}{2F_2} \frac{S_2}{\lambda_2} \right) & \bar{\Phi}_3 &= \frac{1}{a_3} x + \frac{1}{f} \left(\frac{M_3}{F_3} \frac{S_1}{\lambda_1} + \frac{M_3}{F_4} \frac{S_2}{\lambda_2} \right) \\ \bar{\Phi}_4 &= d_0 x + \frac{1}{a_1} \left(\frac{M_1}{\lambda_1} S_1 + \frac{M_1}{\lambda_1} S_2 \right) & \bar{\Phi}_5 &= d_0 x - \frac{1}{a_1} \left(\frac{M_1}{\lambda_1} S_1 - \frac{M_1}{\lambda_1} S_2 \right) & \bar{\Phi}_6 &= \frac{1}{a_2} x - \frac{1}{f} \left(\frac{1}{F_2} \frac{S_1}{\lambda_1} + \frac{1}{F_4} \frac{S_2}{\lambda_2} \right) \\ \bar{\Phi}_7 &= -\frac{d_1}{a_1} x + d_0 \frac{x^2}{2} + \frac{1}{a_1} \left(\frac{M_1}{\lambda_1} S_1 - \frac{M_1}{\lambda_1^2} S_2 \right) & \bar{\Phi}_8 &= \frac{d_2}{a_1} x + d_0 \frac{x^2}{2} - \frac{1}{a_1} \left(\frac{M_1}{\lambda_1} S_1 - \frac{M_1}{\lambda_1^2} S_2 \right) & \bar{\Phi}_9 &= -d_5 - \left(\frac{1}{f_0} + d_5 \right) \frac{x^2}{2} + \frac{1}{a} \frac{x^3}{24} + \frac{1}{f} \left(\frac{M_3}{2F_1} \frac{C_1}{\lambda_1^2} + \frac{M_3}{2F_2} \frac{C_2}{\lambda_2^2} \right) \\ \bar{\Phi}_{10} &= d_7 + d_8 \frac{x^2}{2} + \frac{1}{a} \frac{x^3}{24} - \frac{1}{f} \left(\frac{1}{F_2} \frac{C_1}{\lambda_1^2} + \frac{1}{F_4} \frac{C_2}{\lambda_2^2} \right) & \bar{\Phi}_{11} &= -d_9 - \left(\frac{1}{f_2} + d_9 \right) \frac{x^2}{2} + \frac{1}{f} \left(\frac{M_3}{F_3} \frac{C_1}{\lambda_1^2} + \frac{M_3}{F_4} \frac{C_2}{\lambda_2^2} \right) \\ d_0 &= \pi/a & d_1 &= \frac{M_1}{\lambda_1} - \frac{M_1}{\lambda_1^2} & d_2 &= \frac{M_1}{\lambda_1} - \frac{M_2}{\lambda_2} & d_3 &= \frac{M_2}{f_2} + \frac{M_2}{T_4} & d_4 &= \frac{M_1 M_3}{T_2} + \frac{M_2 M_4}{T_4} & d_5 &= \frac{M_1^2}{f_2} + \frac{M_1^2}{T_4} & d_6 &= \frac{M_1^2}{f_2} \frac{1}{\lambda_1^2} + \frac{M_1^2}{T_4} \frac{1}{\lambda_2^2} \\ d_7 &= \frac{M_1 M_3}{f_2} \frac{1}{\lambda_1^2} + \frac{M_1 M_4}{T_4} \frac{1}{\lambda_2^2} & d_8 &= \frac{M_1^2}{f_2} \frac{1}{\lambda_1^2} + \frac{M_1^2}{T_4} \frac{1}{\lambda_2^2} & \mu_1 &= 2F_1/f_2 & \mu_2 &= 2F_1/f_4 & \mu_3 &= F_3/f_2 & \mu_4 &= F_4/f_4 \\ \lambda_1^2 &= \frac{1}{2f} \frac{F_2}{F_1} T_2 & \lambda_2^2 &= \frac{1}{2f} \frac{F_4}{F_2} T_4 & C_1 &= \cosh \lambda_1 z & S_1 &= \sinh \lambda_1 z & \pi &= \frac{1}{f_0} (F_1 F_4 - F_2 F_3) \end{aligned}$$

次に不連続点での変換マトリクス(ポイントマトリクス)は、まず変位の連続性、次に断面力に対しては仮想仕事の原理を適用して、次のように求まる。(対称変形状態の場合)

$$\begin{aligned} \begin{pmatrix} U_1 \\ U_2 \\ U_3 \\ U_4 \\ V_1 \\ V_2 \end{pmatrix}_r &= \begin{pmatrix} 1 & \Delta(\frac{F_1}{F}) & \{1 - (\frac{F_1}{F})_r\} \{(\frac{F_2}{F})_r - (\frac{F_2}{F})_l\} & (\frac{F_1}{F})_r \{(\frac{F_2}{F})_l - (\frac{F_2}{F})_r\} & 0 & 0 \\ 0 & 1 & \Delta(\frac{F_2}{F}) & -\Delta(\frac{F_3}{F}) & 0 & 0 \\ 0 & 0 & 1 & 0 & 0 & 0 \\ 0 & 0 & 0 & 1 & 0 & 0 \\ 0 & 0 & 0 & 0 & 1 & 0 \\ 0 & 0 & 0 & 0 & 0 & 1 \end{pmatrix} \begin{pmatrix} U_1 \\ U_2 \\ U_3 \\ U_4 \\ V_1 \\ V_2 \end{pmatrix}_l \\ \begin{pmatrix} P_1 \\ P_2 \\ P_3 \\ P_4 \\ Q_1 \\ Q_2 \end{pmatrix}_r &= \begin{pmatrix} 1 & 0 & 0 & 0 & 0 & 0 \\ -\Delta(\frac{F_1}{F}) & 1 & 0 & 0 & 0 & 0 \\ -\{1 - (\frac{F_1}{F})_l\} \Delta(\frac{F_2}{F}) & -\Delta(\frac{F_3}{F}) & 1 & 0 & 0 & 0 \\ -(\frac{F_1}{F})_l \Delta(\frac{F_2}{F}) & \Delta(\frac{F_3}{F}) & 0 & 1 & 0 & 0 \\ 0 & 0 & 0 & 0 & 1 & 0 \\ 0 & 0 & 0 & 0 & 0 & 1 \end{pmatrix} \begin{pmatrix} P_1 \\ P_2 \\ P_3 \\ P_4 \\ Q_1 \\ Q_2 \end{pmatrix}_l \end{aligned}$$

$$\begin{array}{c} \ell \quad r \\ \hline \uparrow \\ \Delta = \ell - r \end{array}$$

表-4 逆対称変形状態の伝達マトリックス

	U_5^0	U_6^0	hV_3^0	$2bV_4^0$	$2bV_5^0$	P_1^0/E	P_2^0/E	Q_3^0/gh	$Q_4^0/2gb$	$Q_5^0/2gb$	Q_6^0/gh	$Q_7^0/2gb$	$Q_8^0/2gb$
$U_5(x)$	1	0	0	0	0	$\bar{\varphi}_1'$	0	0	$2\bar{\varphi}_1$	0	0	$-2\bar{\varphi}_1$	0
$U_6(x)$	0	1	0	0	0	$\bar{\varphi}_2'$	$-\bar{\varphi}_2'$	$-\bar{\varphi}_2'$	$-\bar{\varphi}_2'$	$\bar{\varphi}_2'$	$\bar{\varphi}_2'$	$n\bar{\varphi}_2'$	$-\bar{\varphi}_2'$
$hV_3(x)$	0	x	1	0	0	$\bar{\varphi}_2'$	$-\bar{\varphi}_2' + \frac{x}{b}$	$-\bar{\varphi}_2'$	$\bar{\varphi}_2'$	$\bar{\varphi}_2' - \frac{x}{b}$	$n\bar{\varphi}_2'$	$\bar{\varphi}_2' - d_1x$	$-\bar{\varphi}_2'$
$2bV_4(x)$	$-2x$	nx	0	1	0	$-2\bar{\varphi}_1$	$n\bar{\varphi}_2'$	$-\bar{\varphi}_2'$	$-\bar{\varphi}_2' + d_1x$	$\bar{\varphi}_2' + d_1x$	$n\bar{\varphi}_2'$	$\bar{\varphi}_2' - d_1x$	$-\bar{\varphi}_2' - d_1x$
$2bV_5(x)$	0	$-x$	0	0	1	$-\bar{\varphi}_2'$	$\bar{\varphi}_2'$	$\bar{\varphi}_2' + d_2x$	$-\bar{\varphi}_2' + d_1x$	$-\bar{\varphi}_2'$	$-\bar{\varphi}_2' - d_2x$	$\bar{\varphi}_2' - d_1x$	
$P_1(x)/E$	0	0	0	0	0	1	0	0	$2x$	0	0	-2	0
$P_2(x)/E$	0	0	0	0	0	0	1	$-x$	$-nx$	x	x	nx	$-x$
$Q_3(x)/gh$	0	0	0	0	0	0	0	1	0	0	-1	0	0
$Q_4(x)/2gb$	0	0	0	0	0	0	0	0	1	0	0	-1	0
$Q_5(x)/2gb$	0	0	0	0	0	0	0	0	0	1	0	0	-1

$$n = \frac{F_1 - F_2}{F_1 + F_2}$$

$$d_1 = \frac{1}{T_2} + \frac{1}{T_4}$$

$$d_2 = \frac{1}{T_2} - \frac{1}{T_4}$$

$$\bar{\varphi}_1 = \frac{1}{a_4} \cdot \frac{x^2}{2}$$

$$\bar{\varphi}_2 = \frac{1}{a_2} \cdot \frac{x^3}{6}$$

逆対称変形の場合には、中主構は無関係となる。即ち通常の2主構トラスの場合の解と全く同じである。以上のフィールドマトリックスとポイントマトリックスを用いて、伝達マトリックスの手法により、全ての力学量を求めることができる。即ち

$$Q = (U_n, V_n, P_n, Q_n)^T$$

$$Q_n = F_2 \dots F_{n+1} P_n F_n \dots F_2 P_1 F_1 Q_1$$

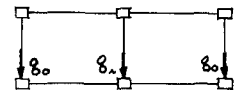
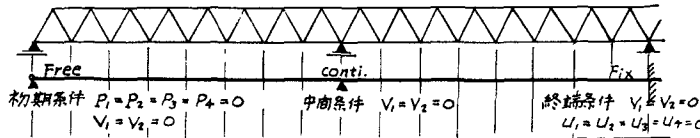
始端と終端の境界条件、中間支梁での拘束条件によつて、式の中に現われる未知力学量は決定される。以上の手法は吊橋の補剛トラス、トラス補剛桁と自らの斜張橋、あるいは境界条件と弦桁単位で与えられた場合に適用できると考えられる。

4) 数値計算例

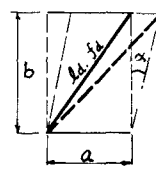
主構の斜材、上横構、下横構を等価な等断面剛性を持つ薄板に換算した。荷重は床版打設時荷重と考へて、対称等分布荷重 ($q_0 = 4.024 \text{ t/m}$, $q_2 = 7.601 \text{ t/m}$) について計算した結果を下面に示す。断面は格受間の半分の長さ(斜材)毎に変断面としなが、全体の長は実際の橋長の半分 $L/2$ と考へ、中央で固定と考へた。

伝達マトリックス法では、数値の桁落ちが問題になるが、フィールドマトリックスが超越関数を含む、複雑な形をしているにもかかわらず、この計算例では解の残差は少なく、十分な精度が得られた。

下の計算結果では単主構トラスとしての計算結果(変形法による)と比較して、中主構では減カシ、外主構では増カシが得られている。これは上記解法によつて取り入れられた上下横構の効果である。



算定値	初期条件 $P_1 = P_2 = P_3 = P_4 = 0$ $V_1 = V_2 = 0$	中間条件 $V_1 = V_2 = 0$	終端条件 $V_1 = V_2 = 0$ $U_1 = U_2 = U_3 = U_4 = 0$																																																	
	<table border="1"> <tr> <td>上横構 V_1</td> <td>0</td> <td>23.1 (22)</td> <td>41.2 (40)</td> <td>51.7 (50)</td> <td>52.8 (51)</td> <td>45.2 (43)</td> <td>31.2 (30)</td> <td>0</td> <td>6.0 (7)</td> <td>14.4 (14)</td> <td>23.1 (24)</td> <td>28.0 (28)</td> <td>26.2 (27)</td> <td>18.8 (19)</td> <td>9.0 (9)</td> <td>0</td> </tr> <tr> <td>中主構 V_2</td> <td>27.7 (29)</td> <td>49.8 (51)</td> <td>62.6 (64)</td> <td>63.1 (64)</td> <td>52.9 (54)</td> <td>36.3 (37)</td> <td>16.5 (17)</td> <td>0</td> <td>7.8 (8)</td> <td>19.8 (21)</td> <td>31.5 (33)</td> <td>37.4 (38)</td> <td>34.4 (35)</td> <td>23.7 (25)</td> <td>11.1 (11)</td> <td>0</td> </tr> </table>	上横構 V_1	0	23.1 (22)	41.2 (40)	51.7 (50)	52.8 (51)	45.2 (43)	31.2 (30)	0	6.0 (7)	14.4 (14)	23.1 (24)	28.0 (28)	26.2 (27)	18.8 (19)	9.0 (9)	0	中主構 V_2	27.7 (29)	49.8 (51)	62.6 (64)	63.1 (64)	52.9 (54)	36.3 (37)	16.5 (17)	0	7.8 (8)	19.8 (21)	31.5 (33)	37.4 (38)	34.4 (35)	23.7 (25)	11.1 (11)	0	<table border="1"> <tr> <td>下横構 V_3</td> <td>0</td> </tr> </table>	下横構 V_3	0	0	0	0	0	0	0	0	0	0	0	0	0	0	0
上横構 V_1	0	23.1 (22)	41.2 (40)	51.7 (50)	52.8 (51)	45.2 (43)	31.2 (30)	0	6.0 (7)	14.4 (14)	23.1 (24)	28.0 (28)	26.2 (27)	18.8 (19)	9.0 (9)	0																																				
中主構 V_2	27.7 (29)	49.8 (51)	62.6 (64)	63.1 (64)	52.9 (54)	36.3 (37)	16.5 (17)	0	7.8 (8)	19.8 (21)	31.5 (33)	37.4 (38)	34.4 (35)	23.7 (25)	11.1 (11)	0																																				
下横構 V_3	0	0	0	0	0	0	0	0	0	0	0	0	0	0	0	0																																				



換算板厚

$$t = \left(\frac{E}{G}\right) \frac{abf_0}{l_0^3}$$

(9アル斜材の場合) は 2倍

()内は単主構としての計算値

参考文献 V.Z.Vlasov "Thin-walled Elastic Beams" Israel Program for Scientific Translations, Jerusalem, 1961